

**Zeitschrift:** Schweizerische Bauzeitung  
**Herausgeber:** Verlags-AG der akademischen technischen Vereine  
**Band:** 83 (1965)  
**Heft:** 8

**Artikel:** Rohrreibungsverluste in Druckleitungen von Wasserkraftwerken  
**Autor:** Müller, W. / Stratmann, H.  
**DOI:** <https://doi.org/10.5169/seals-68099>

#### Nutzungsbedingungen

Die ETH-Bibliothek ist die Anbieterin der digitalisierten Zeitschriften auf E-Periodica. Sie besitzt keine Urheberrechte an den Zeitschriften und ist nicht verantwortlich für deren Inhalte. Die Rechte liegen in der Regel bei den Herausgebern beziehungsweise den externen Rechteinhabern. Das Veröffentlichen von Bildern in Print- und Online-Publikationen sowie auf Social Media-Kanälen oder Webseiten ist nur mit vorheriger Genehmigung der Rechteinhaber erlaubt. [Mehr erfahren](#)

#### Conditions d'utilisation

L'ETH Library est le fournisseur des revues numérisées. Elle ne détient aucun droit d'auteur sur les revues et n'est pas responsable de leur contenu. En règle générale, les droits sont détenus par les éditeurs ou les détenteurs de droits externes. La reproduction d'images dans des publications imprimées ou en ligne ainsi que sur des canaux de médias sociaux ou des sites web n'est autorisée qu'avec l'accord préalable des détenteurs des droits. [En savoir plus](#)

#### Terms of use

The ETH Library is the provider of the digitised journals. It does not own any copyrights to the journals and is not responsible for their content. The rights usually lie with the publishers or the external rights holders. Publishing images in print and online publications, as well as on social media channels or websites, is only permitted with the prior consent of the rights holders. [Find out more](#)

**Download PDF:** 19.02.2026

**ETH-Bibliothek Zürich, E-Periodica, <https://www.e-periodica.ch>**

## Rohrreibungsverluste in Druckleitungen von Wasserkraftwerken

Von Dr. W. Müller und dipl. Ing. H. Stratmann, Winterthur

### 1. Theoretische Grundlagen

In der bekannten Formel von *Darcy-Weissbach*<sup>1)</sup> für den Druckhöhenverlust  $h_v$  in einem Rohr vom Durchmesser  $D$  und der Länge  $L$

$$(1) \quad h_v = \lambda \frac{L}{D} \frac{c^2}{2g}$$

kommt die Rohrreibungszahl  $\lambda$  vor. Sie ist eine dimensionslose Rechnungsgröße, die von der Reynoldsschen Zahl  $Re = D c/\nu$  ( $\nu$  kinematische Zähigkeit des strömenden Mediums) und von der verhältnismässigen Wandrauhigkeit  $\epsilon = k/D$  ( $k$  ideelle Höhe der Unebenheiten) abhängt.

Im laminaren Bereich, d.h. bei Reynoldsschen Zahlen unter 2300, ist  $\lambda = 64/Re$ . Bei turbulenter Strömung bildet sich an der Wand eine laminare Grenzschicht, die bei den üblichen Abmessungen von Druckleitungen etwa 0,02 bis 2 mm dick ist. Solange diese Dicke grösser ist als die Rauhigkeitserhebungen, spricht man von einem hydraulisch glatten Rohr. Bei ihm ist die Rohrreibungszahl nur von  $Re$  abhängig. Hierfür gilt nach *Prandtl* und *v. Kármán* die Gleichung

$$(2) \quad \frac{1}{\sqrt{\lambda}} = -2,0 \log \frac{2,51}{Re \sqrt{\lambda}}$$

Im hydraulisch rauen Bereich verschwindet der Einfluss der Reynoldsschen Zahl;  $\lambda$  ist nur noch von  $\epsilon$  abhängig entsprechend

$$(3) \quad \frac{1}{\sqrt{\lambda}} = -2,0 \log \frac{\epsilon}{3,71}$$

Zwischen diesen Grenzbereichen liegt ein Übergangsgebiet, dem insofern grosse Bedeutung zukommt, als die meisten Rohrströmungen der Praxis in ihm liegen. Das gilt vor allem auch für Druckleitungen mit grossen Durchmessern und grossen Geschwindigkeiten, bei denen sich die Reynoldszahlen in der Grössenordnung von  $10^6$  bis  $10^7$  bewegen. Nur bei stark verrosteten Leitungen kann sich eine vollständig rauhe Strömung einstellen. Im Übergangsgebiet kann nach *C. F. Colebrook* gesetzt werden:

<sup>1)</sup> Drei Veröffentlichungen aus neuerer Zeit über Rohrströmungen sind im Literaturverzeichnis am Schluss des Aufsatzes unter [1], [2], [3] angegeben.

Bild 1. Strömungswiderstand in geraden Rohrabschnitten in Abhängigkeit von der Reynoldsschen Zahl  $Re$ .

- a hydraulisch glatt, Gl. (2)
- b hydraulisch rauh, Gl. (3)
- c Uebergangsgebiet, Gl. (4)

Die Bildstücke dieses Aufsatzes wurden uns von Gebrüder Sulzer AG, Winterthur zur Verfügung gestellt.

$$(4) \quad \frac{1}{\sqrt{\lambda}} = -2,0 \log \left[ \frac{2,51}{Re \sqrt{\lambda}} + \frac{\epsilon}{3,71} \right]$$

Bild 1 zeigt die Kurven nach Gleichung (4) für verschiedene Wandrauhigkeiten  $\epsilon$  in der üblichen Darstellung mit  $Re$  als Abszisse und  $\lambda$  als Ordinate. Die Kurve a gilt für hydraulisch glatte Rohre nach Gleichung (2) und der Bereich rechts der strichpunktiierten Kurve für hydraulisch rauhe Rohre nach Gleichung (3).

Wählt man als Abszisse den Ausdruck

$$(5) \quad x = \log \left( Re \cdot \epsilon \sqrt{\frac{\lambda}{8}} \right) = \log Re^*$$

und als Ordinate

$$(6) \quad y = \frac{1}{\sqrt{\lambda}} + 2 \log \epsilon,$$

so werden die Grenzbereiche der hydraulisch glatten und der hydraulisch rauen Strömung durch die Geraden a und b, Bild 2, dargestellt, während sich im Übergangsgebiet für jede gleichgeartete Rauhigkeitsform gleich welcher Größe eine einzige Kurve c entsprechen Gleichung (4) ergibt, die sich asymptotisch an die beiden Grenzgeraden anschmiegt. Die analytischen Gleichungen lauten dann für die Kurve c

$$(7) \quad y_c = 2x + 1,141 - 2 \log (3,3012 + 10^x)$$

für die Kurve a

$$(8) \quad y_a = 2x + 0,104$$

und für die Kurve b

$$(9) \quad y_b = 1,141.$$

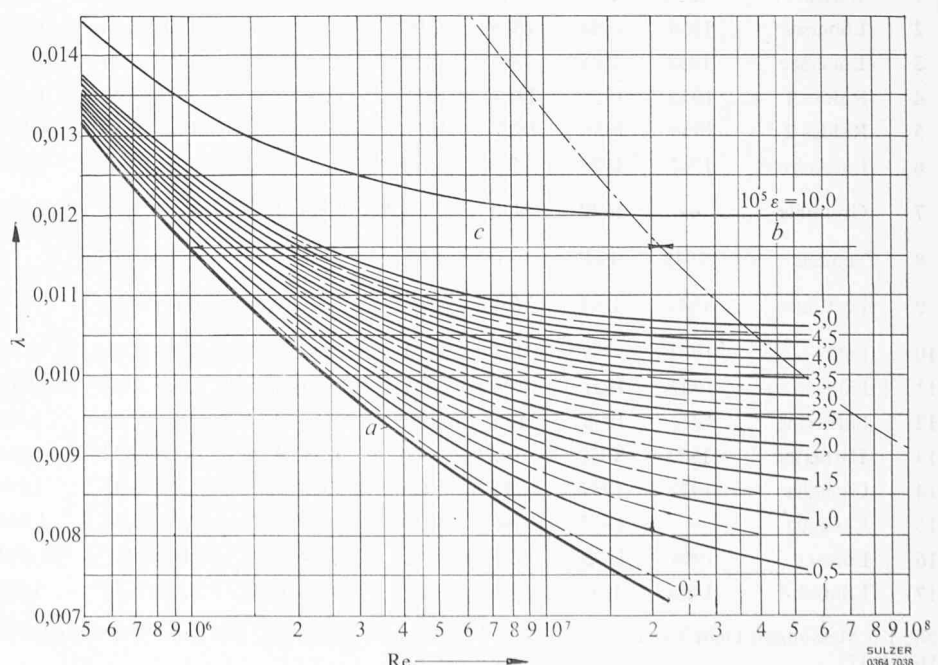
Im Ausdruck für  $Re^*$  (Reynoldssche Zahl der Rauigkeit)

$$(10) \quad Re^* = \frac{k c}{\nu} \sqrt{\frac{\lambda}{8}} = \frac{k c^*}{\nu}$$

wird die Geschwindigkeit

$$(11) \quad c^* = c \sqrt{\frac{\lambda}{8}} = \sqrt{\frac{\tau_0}{\rho}}$$

nach *Prandtl* als Schubspannungsgeschwindigkeit bezeichnet, wobei  $\tau_0$  die Schubspannung an der Rohrwand darstellt.



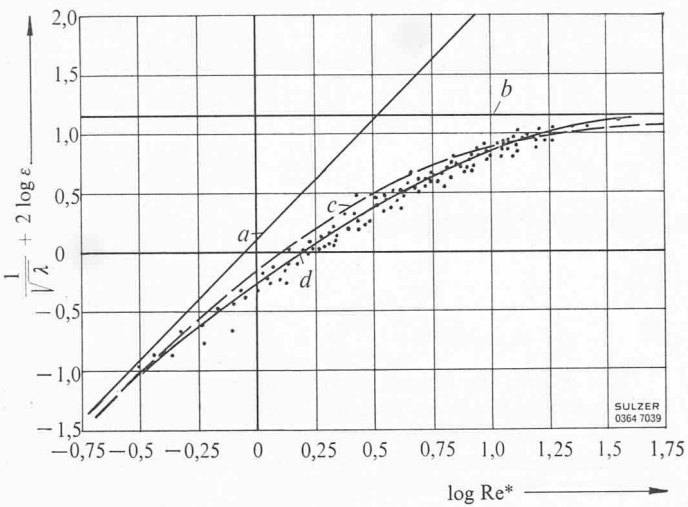


Bild 2.  $x$ ,  $y$ -Diagramm zur Kennzeichnung des Störungsverhaltens in Rohrleitungen. a hydraulisch glatt, Gl. (8); b hydraulisch rauh, Gl. (9); c nach Colebrook, Gl. (7); d experimentelle Übergangskurve (nach Versuchen von Kessler, Freeman, Corp und Rubble).

In Bild 2 sind Messergebnisse nach Versuchen von *Kessler, Freeman, Corp und Rubble* eingetragen, die an neuen Stahlrohren von handelsüblicher Güte gewonnen wurden. Aus ihnen ergab sich die Übergangskurve d, die mit der Kurve c verhältnismässig gut übereinstimmt. Die Kurve d kann somit für Vergleichszwecke herangezogen werden.

Die Grösse der Wandrauhigkeit  $k$  (beziehungsweise des Wertes  $\epsilon = k/D$ , der in den Gleichungen (3) und (4) vorkommt), stellt nicht eine ausmessbare Länge dar, sondern lediglich eine Vergleichsgrösse, welche auch die Form und die örtliche Verteilung der Unebenheiten berücksichtigt. Den Zusammenhang zwischen der Theorie von *Prandtl-Colebrook* und den wirklichen Grösse der Rauigkeitserhebungen, wie ihn die Gleichungen (3) und (4) ausdrücken, hat *J. Nikuradse* durch umfangreiche Versuche abgeklärt, bei denen er die Rohrinnenfläche mit Sandkörnern von gleichem Durchmesser gleichmässig mittels einer Lackschicht belegte. Damit ist es möglich geworden, die vorliegende unregelmässige natürliche Rauigkeit  $k$  durch eine regelmässige künstliche Sandrauhigkeit  $k_s$  auszudrücken, deren Rauig-

keitserhebungen bekannt sind. Drückt man also die natürliche Rauigkeit durch diejenige künstliche Rauigkeit aus, die unter sonst gleichen Bedingungen den gleichen Reibungswiderstand erzeugt, so ist die Bedingung der geometrischen Ähnlichkeit erfüllt, und die Rechnung liefert richtige Resultate.

Die Übergangskurve d in Bild 2 kann je nach der Rauigkeitsform sehr verschieden aussehen. Für gleichförmige Sandrauhigkeit ergibt sich die in Bild 10 mit e bezeichnete Gestalt, das heisst, die Kurve folgt bis zu verhältnismässig grossen Werten von  $Re^*$  der Grenzgeraden für hydraulisch glatte Strömung und nähert sich dann von oben der Geraden für rauhe Strömung. Bei natürlicher Rauigkeit verlaufen die Kurven ohne Wendepunkt und zweigen schon bei kleineren  $Re^*$ -Werten von der Grenzgeraden ab.

Dieses unterschiedliche Verhalten lässt sich mit Hilfe der Grenzschichttheorie wie folgt erklären: Die Dicke der laminaren Grenzschicht ist angennähert proportional zum reziproken Wert der Reynoldschen Zahl: Bei kleinen Werten von  $Re$  ist sie gross und nimmt mit wachsendem  $Re$  ab. Bei der gleichmässigen Sandrauhigkeit nach *Nikuradse* bleiben die Spitzen der Sandkörner bis zu verhältnismässig grossen  $Re$ -Werten innerhalb der Grenzschicht, so dass sich in diesem Bereich eine hydraulisch glatte Strömung ausbildet. Diese geht dann aber rasch, das heisst bei verhältnismässig geringer Zunahme von  $Re$ , in eine hydraulisch rauhe Strömung über.

Bei der natürlichen Rauigkeit durchstossen einzelne Spitzen der Unebenheiten schon bei verhältnismässig niedrigen  $Re$ -Zahlen die dabei noch dicke Grenzschicht und bewirken eine Störung der glatten Strömung, also ein Ausweichen der Kurve ins Übergangsgebiet. Bei zunehmender Geschwindigkeit, also grösseren  $Re$ -Werten, wird die Grenzschicht dünner, und es ragen immer mehr Unebenheitsspitzen über sie hinaus, die der Strömung mehr und mehr den Charakter einer hydraulisch rauen geben. Je nach der Art, wie schnell die mittleren und kleineren Rauigkeitserhebungen an Einfluss gewinnen, verändert sich der Verlauf der Übergangskurve im  $x$ ,  $y$ -Diagramm.

## 2. Durchgeführte Messungen

Die in den letzten Jahren von Gebrüder Sulzer an verschiedenen, verhältnismässig neuen Anlagen durchgeführten Messungen dienten im wesentlichen dem Nachweis eingegangener Garantieverpflichtungen bezüglich des Druckverlustes in Verteilitleitungen. Außerdem ist es von grossem praktischem Interesse, über das wirkliche Verhalten ausgeführter Druckleitungen von Wasserkraftwerken zuverlässig unterrichtet zu werden, um so genaue Unterlagen für die Projektierung neuer Anlagen sowie brauchbare Massstäbe für die Beurteilung ausgeführter, durch den Betrieb veränderter Leitungen zu erhalten.

Tabelle 1 Druckverlustmessungen an geschweissten Druckleitungen

| Nr. | Anlage    | Betriebsbeginn | Versuchs-Jahr | Länge m | $D$ mm | Wassermenge $m^3/s$ | $Re \cdot 10^6$ | $\lambda \cdot 10^{-2}$ | $\epsilon \cdot 10^{-5}$ | $k_s$ mm | Bemerkungen              |
|-----|-----------|----------------|---------------|---------|--------|---------------------|-----------------|-------------------------|--------------------------|----------|--------------------------|
| 1   | Biasca    | 1960           | 1961          | 1050    | 2914   | 13,47-53,02         | 3,74-14,71      | 0,850-1,060             | 0,7                      | 0,020    | Druckschacht             |
| 2   | Lünersee  | 1958           | 1958          | 1026    | 2251   | 4,20-30,01          | 1,58-11,32      | 0,836-1,199             | 0,7                      | 0,016    |                          |
| 3   | Lünersee  | 1958           | 1958          | 1361    | 2110   | 3,54-30,01          | 1,42-12,04      | 0,811-1,119             | 0,3                      | 0,007    | Druckschacht             |
| 4   | Riddes 1  | 1956           | 1958          | 1817    | 1571   | 5,65-13,88          | 3,05- 7,50      | 0,905-1,026             | 0,7                      | 0,011    |                          |
| 5   | Riddes 2  | 1956           | 1958          | 1817    | 1571   | 5,30-13,89          | 4,86- 7,50      | 0,898-1,007             | 0,5                      | 0,008    |                          |
| 6   | Lucendro  | 1945           | 1958          | 1509    | 915,8  | 1,83- 5,78          | 1,69- 5,35      | 0,997-1,150             | 2,0                      | 0,018    |                          |
| 7   | Grenoble  | —              | 1947          | 200     | 796,3  | 0,32- 0,97          | 0,54- 1,53      | 1,174-1,449             | 2,5                      | 0,020    | Laboratoire Dauphinois   |
| 8   | Vendets   | 1942           | 1942          | 335     | 1400   | - 7,1               | 1,7 - 4,05      | 1,0                     | 1,5                      | 0,021    |                          |
| 9   | Portillon | 1941           | 1941          | 2638    | 946    | - 4,86              | 0,85- 4,0       | 1,33                    | 20                       | 0,20     | Bandagierte Druckleitung |
| 10  | Palü      | 1927           | 1937          | 132     | 1125   | 1,64- 3,82          | 1,26- 2,94      | 1,127-1,253             | 5,5                      | 0,062    |                          |
| 11  | Palü      | 1927           | 1937          | 108     | 1075   | 1,64- 3,82          | 1,32- 3,07      | 1,091-1,289             | 5,8                      | 0,062    |                          |
| 12  | Barberine | 1923           | 1938          | 108     | 1100   | 1,53- 4,14          | 1,13- 3,07      | 1,185-1,265             | 7                        | 0,077    |                          |
| 13  | Barberine | 1923           | 1938          | 192     | 1050   | 1,53- 4,14          | 1,19- 3,22      | 1,368-1,440             | 18                       | 0,189    |                          |
| 14  | Cavaglia  | 1921           | 1937          | 96      | 1020   | 1,43- 4,03          | 1,21- 3,47      | 1,830-2,154             | 110                      | 1,100    | vor Reinigung            |
| 15  | Cavaglia  | —              | 1937          | 96      | 1020   | 1,43- 4,31          | 1,14- 3,43      | 1,026-1,196             | 2,5                      | 0,025    |                          |
| 16  | Löntsch   | 1908           | 1938          | 179     | 1052   | 0,80- 4,78          | 0,64- 3,80      | 1,342-1,454             | 22                       | 0,232    |                          |
| 17  | Löntsch   | 1908           | 1938          | 179     | 1122   | 0,80- 4,78          | 0,60- 3,56      | 1,315-1,510             | 27                       | 0,303    |                          |

Nr. 1-6 Messungen Gebrüder Sulzer [4] Nr. 7 Messungen Barbé [5] Nr. 8 und 9 Messungen Electricité de France [6] Nr. 10-17 Messungen Hoeck [7]

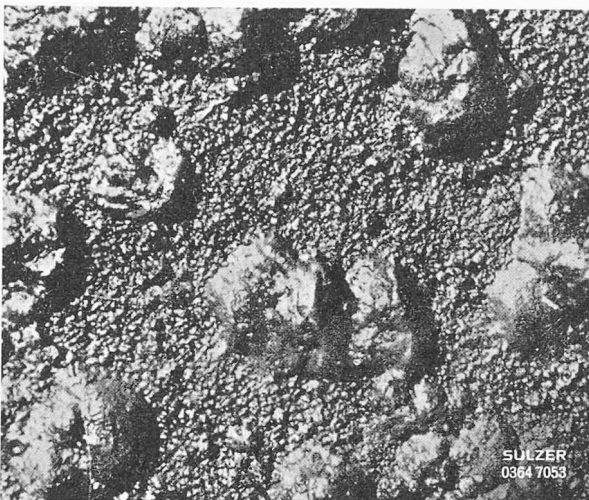


Bild 3. Druckleitung Cavaglia vor der Reinigung in natürlicher Grösse (Messstrecke 1) [7]; massgebliche absolute Rauigkeit  $k_s = 3,2 \text{ mm}$ .

Grossversuche an in Betrieb stehenden Anlagen bereiten allerlei Schwierigkeiten, die die Genauigkeit beeinträchtigen können. Einen einwandfreien Beharrungszustand einzuhalten, wäre wohl die wichtigste Voraussetzung für zuverlässige Ergebnisse, lässt sich aber nur in den seltensten Fällen erreichen. Sowohl die Durchflussmenge als auch Temperatur und Druck des Wassers sollten während der Zeit der Messung konstant bleiben. Weiter sollte die Messstrecke mit den genügend langen Anlauf- und Ablaufstrecken möglichst gerade sein und eine gleichmässige Rauigkeit aufweisen. Da diese Voraussetzungen meist nicht voll erfüllbar sind, ist es notwendig, die Versuchsbedingungen so zu wählen, dass sich die geringsten Fehler ergeben.

In Tabelle 1 sind die Hauptdaten der untersuchten Anlagen sowie die Messergebnisse zusammengestellt. Dort sind auch Messungen an älteren Anlagen angeführt worden, da sie interessante Vergleichsmöglichkeiten bieten.

Für die Beurteilung der erzielten Oberflächengüte einer ausgeführten Rohrleitung ist die äquivalente Sandrauigkeit  $k_s$  nach Nikuradse massgebend. Wenn die Messung im vollständig rauen Bereich durchgeführt werden kann, lässt sich aus dem  $\lambda$ -Wert, den man nach Gleichung (1) aus den Messwerten ermittelt, die relative Wandrauigkeit  $\epsilon$  mittels Gleichung (3) und hieraus  $k_s$  leicht berechnen. Im allgemeinen müssen Messungen an ausgeführten Anlagen unter Betriebsbedingungen durchgeführt werden, die im Übergangsgebiet liegen. Dabei bleibt nichts anderes übrig, als die Sandrauigkeit  $k_s$  anhand der Übergangskurve nach Gleichung (4) abzuschätzen, indem man die Versuchskurve mit jener vergleicht. Mit Rücksicht auf die geringere Fehlerempfindlichkeit des verschämässig bestimmten Druckverlustes bei grösseren Geschwindigkeiten und die bessere Näherung an den hydraulisch rauen Bereich wird man diesen Vergleich bei möglichst grossen Reynoldsschen Zahlen durchführen. Das trifft, wie aus Tabelle 1 ersichtlich ist, für die in den Jahren 1958–1961 durchgeföhrten Messungen besonders gut zu. Trotzdem ergibt diese graphische Näherungsmethode infolge unvermeidbarer Streuung der Versuchswerte und dem weitgehend hydraulisch glatten Verhalten der Messstrecken gewisse Ungenauigkeiten, weshalb bei dem in Tabelle 1 angegebenen  $k_s$ -Werten eine Fehlertoleranz von  $\pm 20\%$  eingeräumt werden muss.

Der Einfluss dieser Toleranz auf die Rohreibungszahl  $\lambda$  bleibt jedoch infolge der logarithmischen Abhängigkeit nach Gleichung (4) zwischen den beiden Größen sehr gering. Für ein Rohr von beispielsweise 2000 mm Durchmesser und mit einer mittleren Strömungsgeschwindigkeit von 4,5 m/s ergibt sich für  $v = 1,5 \cdot 10^{-6} \text{ m}^2/\text{s}$  die Reynoldssche Zahl zu  $6 \cdot 10^6$ . Bei einer angenommenen mittleren Rauigkeitshöhe von 0,02 mm ist  $\epsilon = 10^{-5}$  und  $\lambda = 0,00941$ . Beträgt diese Höhe 0,03 mm, also 50% mehr, so steigt  $\lambda$  auf 0,00993, also um nur 5,5%; beträgt sie nur 0,01 mm, also 50% weniger, so sinkt  $\lambda$  auf 0,00909, also um nur 3,4%.

Bei den Messungen, die in neuerer Zeit von Gebrüder Sulzer an den Anlagen Nr. 1 bis 6 durchgeföhrten worden sind, handelt es sich um vollkommen geschweisste Rohrleitungen mit Bitumenglattstrichen. Als Korrosionsschutz wurde die metallisch blank sandgestrahlte Rohrinnenfläche spritzverzinkt und mit einem drei- bis vierfachen Bitumen-

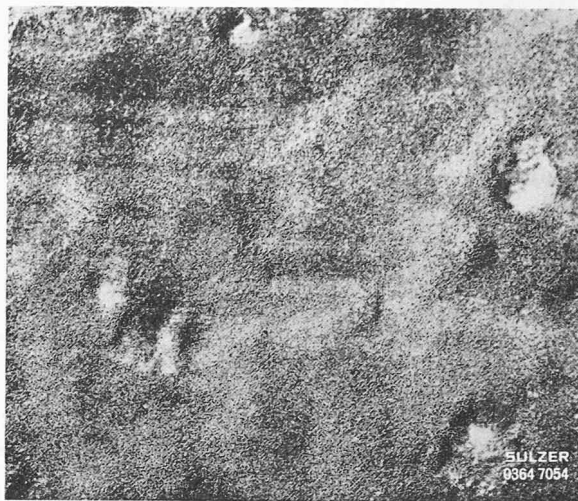


Bild 4. Druckleitung Cavaglia nach der Reinigung in natürlicher Grösse (Messstrecke 1); massgebliche absolute Rauigkeit  $k_s = 0,03 \text{ mm}$ .

anstrich versehen. Der Deckanstrich ist teilweise als Heissbitumen-Spritzfilm aufgebracht und zur Beseitigung der porenbildenden Luftpässchen geflammmt, teilweise auch durch Infrarotbestrahlung in die Rohroberfläche eingearbeitet worden. Diese sorgfältige Behandlung liess sehr geringe Reibungsverluste erwarten. Tatsächlich ergaben die Messungen absolute Rauigkeitshöhen von nur 0,01 bis 0,02 mm.

Die Wassermengen wurden aus den gemessenen elektrischen Leistungen unter Berücksichtigung der bekannten Gruppenwirkungsgrade der Maschinen ermittelt. Eine zusätzliche Kontrolle ergab sich aus den Messungen des Nadelhubes der Freistrahlturbinen unter Verwendung der Düseneichkurve. Besondere Sorgfalt erforderten die Druckmessungen vor und nach den Messstrecken sowie die genaue Ermittlung des massgebenden Rohrdurchmessers. Dieser wurde aus zahlreichen Einzelmessungen bestimmt, die über die ganze Länge der Messstrecke vorgenommen wurden.

An der Leitung Nr. 7 hat das Laboratoire Dauphinois Grenoble [5] Messungen durchgeführt, an den Leitungen 8 und 9 die Electricité de France [6], während die Leitungen 10 bis 17 von E. Hoeck [7] untersucht wurden. Bei allen diesen Leitungen handelt es sich ebenfalls um vollständig geschweisste Druckrohrleitungen bzw. Druckschächte, so dass die Ergebnisse miteinander vergleichbar sind.

### 3. Die Ergebnisse

Was bei der Betrachtung der Tabelle 1 zunächst auffällt, ist der grosse Unterschied zwischen den Werten für die absolute Rauigkeit der älteren, von E. Hoeck gemessenen Leitungen und denen der neueren Leitungen, die von Sulzer erstellt worden sind. Hieraus wird deutlich, wie sehr sich die sorgfältige Oberflächenbehandlung gelohnt hat. Tatsächlich sind die dabei erhaltenen  $k_s$ -Werte im Vergleich zu bisher veröffentlichten Versuchsergebnissen als überaus günstig zu bezeichnen.

Eine höchst bemerkenswerte Vergleichsmöglichkeit bietet die Leitung Nr. 14 der Anlage Cavaglia im Zustand vor der Revision. Dieses Kraftwerk stand bis zum Zeitpunkt der Messung während 16 Jahren im Betrieb und wies eine mit dicken Rostwarzen bis zum 8 mm Höhe in 2 bis 3 cm Abstand besetzte Oberfläche auf. Bild 3 zeigt den Zustand eines Wandteiles vor der Reinigung. Da damit gerechnet werden musste, dass sich die Unebenheiten stark verschieden verteilen, wurden drei Messstrecken von verschiedener Länge gewählt. Die Reinigung ergab zwar keine völlig glatte, aber doch eine recht gute Oberfläche, wie auf Bild 4 zu sehen ist. Sehr beachtenswert ist aber der Erfolg: Die absolute Rauigkeit verringerte sich bei der günstigsten Messstrecke (3) auf rund 2,3% und die Rohreibungszahl auf etwa 55%. Bei den beiden andern Messstrecken waren die absoluten Rauigkeiten vor der Reinigung, wie aus Bild 5 hervorgeht, wesentlich grösser. Dementsprechend ergab sich auch eine stärkere Verringerung. Der Unterschied zwischen den Messstrecken ist fast ganz verschwunden. Dass sich diese bedeutende Verbesserung des Leitungsverhaltens energiewirtschaftlich vorteilhaft auswirkt, ist leicht einzusehen.

Eine äusserst wertvolle Bereicherung der vorhandenen Unterlagen stellen die Versuchsergebnisse des Laboratoire Dauphinois in Grenoble

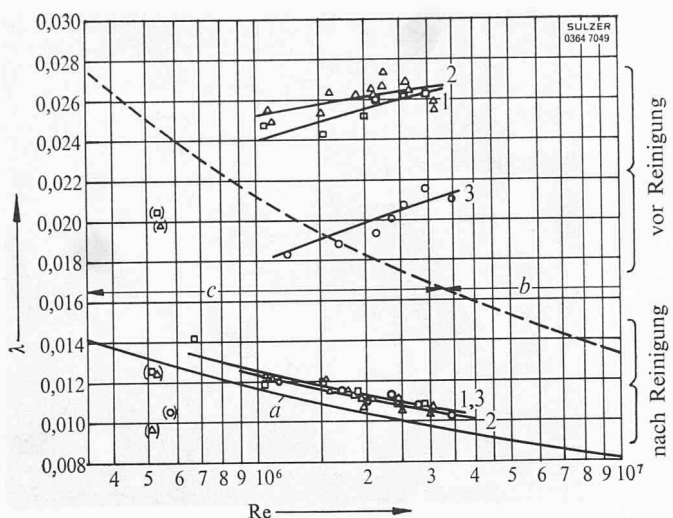


Bild 5.  $\lambda$ ,  $Re$ -Diagramme mit den Messergebnissen an der Druckleitung Cavaglia vor und nach der Reinigung [7]. Messtrecke 1:  $D = 1200 \text{ mm}$ ,  $\epsilon = 2,7 \cdot 10^{-3}$ ,  $k_s = 3,2 \text{ mm}$ . Messtrecke 2:  $D = 1150 \text{ mm}$ ,  $\epsilon = 3,0 \cdot 10^{-3}$ ,  $k_s = 3,4 \text{ mm}$ . Messtrecke 3:  $D = 1020 \text{ mm}$ ,  $\epsilon = 1,1 \cdot 10^{-3}$ ,  $k_s = 1,1 \text{ mm}$ . ( $\epsilon$ - und  $k_s$ -Werte vor der Reinigung.)  
a hydraulisch glatt, b hydraulisch rauh, c Übergangsgebiet.

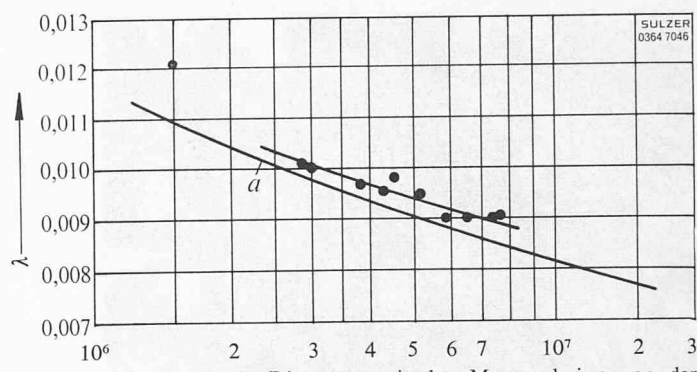


Bild 7.  $\lambda$ ,  $Re$ -Diagramm mit den Messergebnissen an der Druckleitung 2 Riddes.

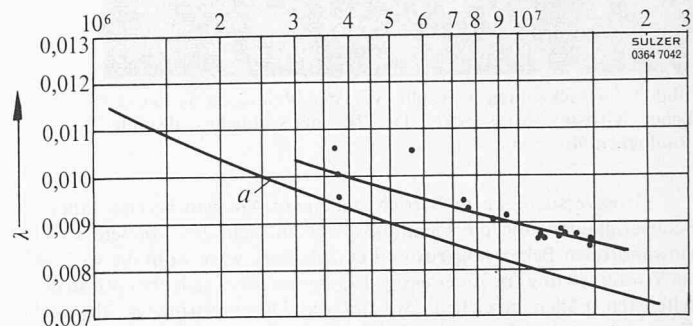


Bild 8.  $\lambda$ ,  $Re$ -Diagramm mit den Messergebnissen am Druckschacht Biasca.

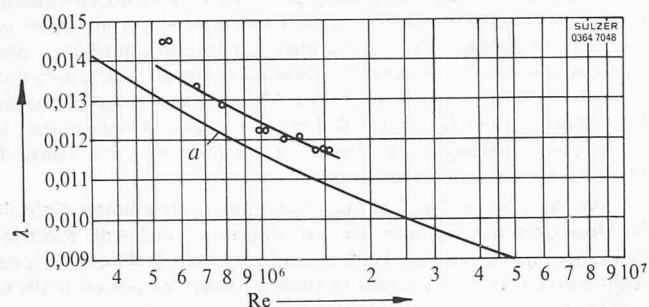


Bild 6.  $\lambda$ ,  $Re$ -Diagramm mit den Messergebnissen des Laboratoire Dauphinois, Grenoble [5].

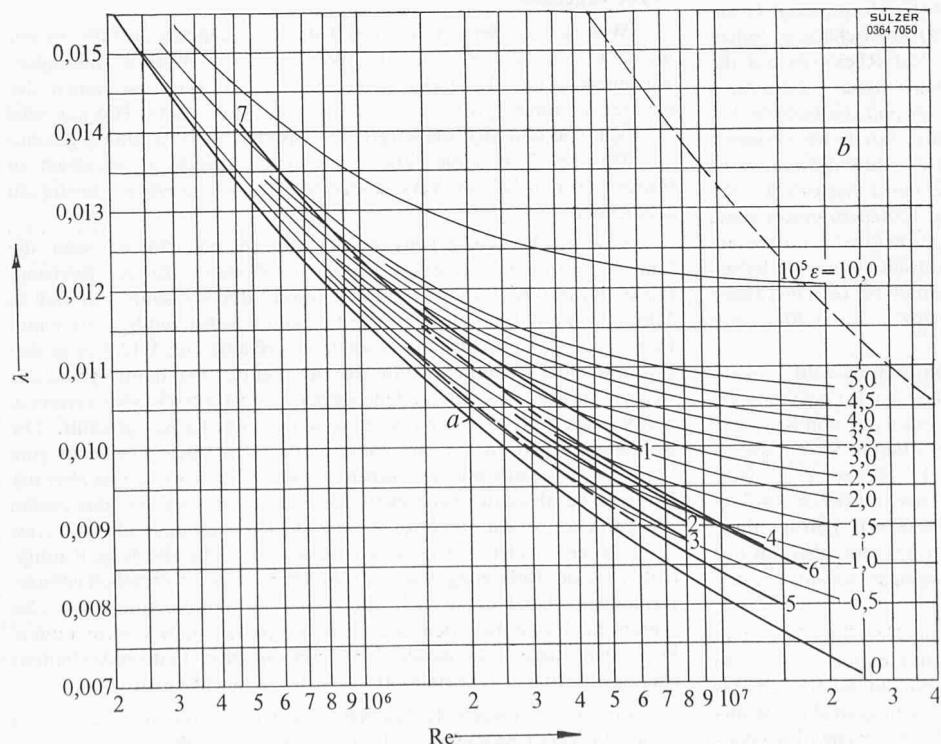


Bild 9.  $\lambda$ ,  $Re$ -Diagramm mit den Rohrwiderstandskurven nach den Versuchen von Gebrüder Sulzer an neuen Leitungen.

- 1 Druckleitung Lucendro
- 2 Druckleitung 1 Riddes
- 3 Druckleitung 2 Riddes
- 4 Druckleitung Lünersee
- 5 Druckschacht Biasca
- 6 Druckschacht Lünersee
- 7 Laboratoire Dauphinois

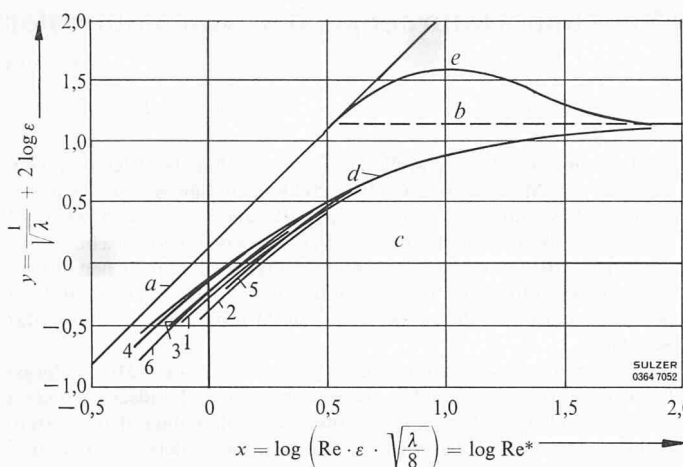


Bild 10.  $x$ ,  $y$ -Diagramm mit den an neuen Druckleitungen ermittelten Messkurven:

- |                         |                          |
|-------------------------|--------------------------|
| a hydraulisch glatt     | 1 Druckschacht Biasca    |
| b hydraulisch rauh      | 2 Druckleitung Lünersee  |
| c Uebergangsgebiet      | 3 Druckleitung 1 Riddes  |
| d natürliche Rauhigkeit | 4 Druckleitung 2 Riddes  |
| nach Colebrook          | 5 Druckleitung Lucendro  |
| e Sandrauhigkeit nach   | 6 Laboratoire Dauphinois |
| Nikuradse               |                          |

Bildern 7 und 8, die sich auf die Druckleitung 2 des Kraftwerkes Riddes bzw. auf den Druckschacht des Kraftwerkes Biasca beziehen.

Der Vergleich mit der Prandtl-Colebrookschen Theorie geht aus Bild 9 hervor. Die Übereinstimmung ist aufs Ganze gesehen recht gut. Gegenüber den Kurven nach Gleichung (4) von Colebrook für verschiedene Wandrauhigkeiten  $\epsilon$  im Übergangsgebiet verlaufen die eingetragenen Messkurven jedoch etwas steiler, im Sinne einer langsameren Angleichung an die hydraulisch glatte Rohrströmung bei abnehmender Fließgeschwindigkeit. Die gleiche Erscheinung ist ebenfalls von L. Hopf auf Grund eigener Versuche sowie solcher von Fromm gemacht worden, worüber in [8] berichtet wird. Sie lässt sich wie folgt erklären: Bei der Bildung einzelner Rostwarzen werden zunächst, das heißt bei kleinen  $Re$ -Zahlen, also kleinen Geschwindigkeiten, nur einzelne Warzenspitzen als Rauhigkeitsursachen wirksam, was sich im  $x$ ,  $y$ -Diagramm darin äußert, dass die wirklichen Übergangskurven bei kleinen  $x$ -Werten stärker von der Grenzlinie für hydraulisch glatte Strömung abweichen, um dann angenähert parallel zu dieser zu verlaufen, bis schließlich auch die niedrigen Rauhigkeitserebungen an Einfluss gewinnen und die Kurven dem Grenzwert für hydraulisch rauhe Strömung zustreben.

Bei den älteren Leitungen liegen die Kurven, die sich aus den Messungen von E. Hoeck ergaben, im  $\lambda$ ,  $Re$ -Diagramm, Bild 11, weit auseinander. Verhältnismässig niedrige  $\lambda$ -Werte ergab die Cavaglia-Leitung nach der Reinigung. Günstig sind auch die beiden Palü-Leitungen sowie die eine von Barberine II. Dagegen weisen die beiden Löntsch-Leitungen sowie die zweite von Barberine II stark rauhes Verhalten auf, wie aus dem hohen Wert für  $\epsilon$  bzw.  $k_s$  (Tabelle 1) und dem flachen Verlauf der Kurve zu ersehen ist.

Ein unterschiedliches Verhalten von Druckleitungen und Druckschächten lässt sich aus den Versuchen nicht feststellen. Theoretisch sollte ein Druckschacht kleinere Druckverluste ergeben als eine oberirdisch verlegte Druckleitung, da Expansionen und kleinere Knicke wegfallen. Der Unterschied bleibt aber ohne Zweifel äusserst gering.

In diesem Zusammenhang ist auch ein Vergleich zwischen glattwandigen und bandagierten Druckrohrleitungen interessant. Obwohl nur spärliche Versuchsergebnisse vorliegen, scheint es verständlich, dass die Innenfläche, die infolge der Bandagierung leicht gewellt ist, zu grösseren Druckverlusten führen muss. Eine Wellenhöhe von etwa 0,01 mm ist von gleicher Grössenordnung wie die natürliche Oberflächenrauhigkeit glattwandiger Rohre. Erfahrungsgemäss ist nun aber der Einfluss wellen- oder riffelartiger Inkrustationen auf den Druckverlust verhältnismässig gross. Nach G. Thibessard [9] kann die

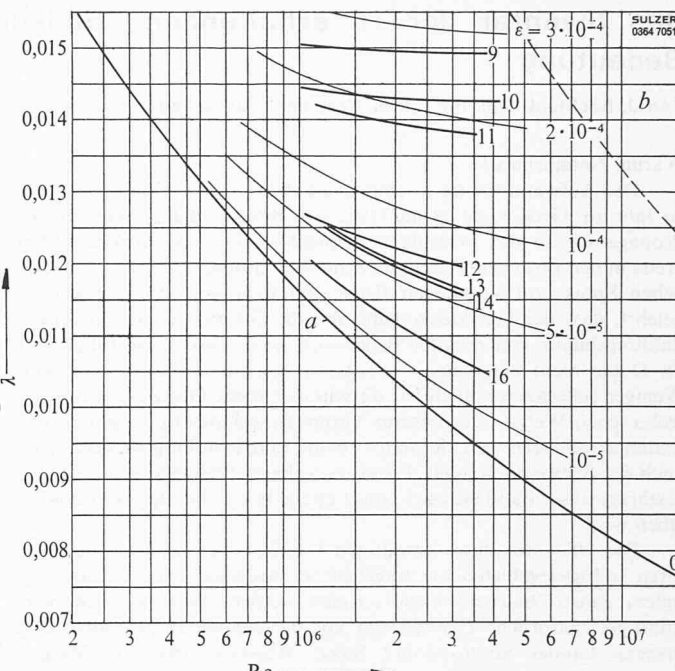


Bild 11.  $\lambda$ ,  $Re$ -Diagramm mit den Rohrwiderstandskurven nach Versuchen von E. Hoeck [7] an älteren Leitungen:

- |                         |  |
|-------------------------|--|
| 9 Löntsch (Nr. 15)      | 13 Palü (Nr. 19)                         |
| 10 Löntsch (Nr. 16)     | 14 Palü (Nr. 18)                         |
| 11 Barberine II (Nr. 4) | 15 Cavaglia vor der Reinigung (Nr. 10) * |
| 12 Barberine II (Nr. 3) | 16 Cavaglia nach der Reinigung (Nr. 13)  |

- a hydraulisch glatt
- b hydraulisch rauh

\*) fällt mit  $\lambda = \infty$  0,02 ausserhalb des Bildes.

äquivalente Sandrauhigkeit  $k$  – insbesondere bei wellenförmiger Oberfläche – einen bis zu zehnfach grösseren Wert als die effektive Rauhigkeitshöhe annehmen. Daher ist zu vermuten, dass eine bandagierte Rohrleitung im neuen Zustand einen um mindestens 5 bis 10 % grösseren Druckverlust aufweist als eine sonst gleiche unbandagierte Rohrleitung. Die Messungen an der Anlage Portillon [6] mit einem um etwa 30 % höheren Druckverlust weisen eindeutig in diese Richtung.

#### Literaturverzeichnis

- [1] Herning, F.: Stoffströme in Rohrleitungen. Düsseldorf 1961, VDI-Verlag.
- [2] Richter H.: Rohrhydraulik. 4. Auflage. Berlin 1962, Springer-Verlag
- [3] Kirschmer O.: Tabellen zur Berechnung von Rohrleitungen. Heidelberg 1963, Strassenbau, Chemie und Technik Verlagsges.
- [4] Müller W. und Stratmann, H.: Rohreibungsverluste in Druckrohrleitungen von Wasserkraftanlagen. «Technische Rundschau Sulzer» 1964, H. 3, S. 111–120.
- [5] Barbé R.: La mesure dans un laboratoire des pertes de charge de conduites industrielles; «La Houille Blanche» 2 (1947) pp. 191–203.
- [6] Coefficients des formules usuelles de perte de charge déduites des mesures effectuées par le Service d'Essais E.D.F.: «La Houille Blanche» 2 (1947) pp. 419–421.
- [7] Hoeck E.: Druckverluste in Druckleitungen grosser Kraftwerke; Zürich 1943, Verlag Leemann.
- [8] Hopf L.: Die Messung der hydraulischen Rauhigkeit; «Zeitschr. f. angew. Math. u. Mech.»; 3 (1923), S. 329–339.
- [9] Thibessard G.: Les facteurs de perte de charge dans les conduites de grand diamètre devant la corrosion; Centre Belge d'Etude et de Documentation des Eaux, No 54 (1961/IV), pp. 235–241.

Adresse der Verfasser: bei Gebr. Sulzer, Winterthur